

Astroteilchenphysik II: Gammastrahlung

Vorlesung 9

Ralph Engel und Markus Roth
Institut für Kernphysik
Markus.Roth@kit.edu

Aktive Galaktische Kerne

Seyfert-Galaxien, Quasare, Blazare

- Beobachtungen von variablen, extragalaktischen Objekten
- Interpretation als Aktive Galaktische Kerne
- Physikalische Prozesse und Parameter
- Indirekter Nachweis von Schwarzen Löchern

Emissions- und Absorptionsprozesse

- Akkretionsscheibe und Gastorus
- Plasmastrahlen (Jets) und Knoten

Nachweis Schwarzer Löcher

- Keplerbahnen und Dopplereffekt
- Eddingtonschranke

Unmittelbare Umgebung von Schwarzen Löchern

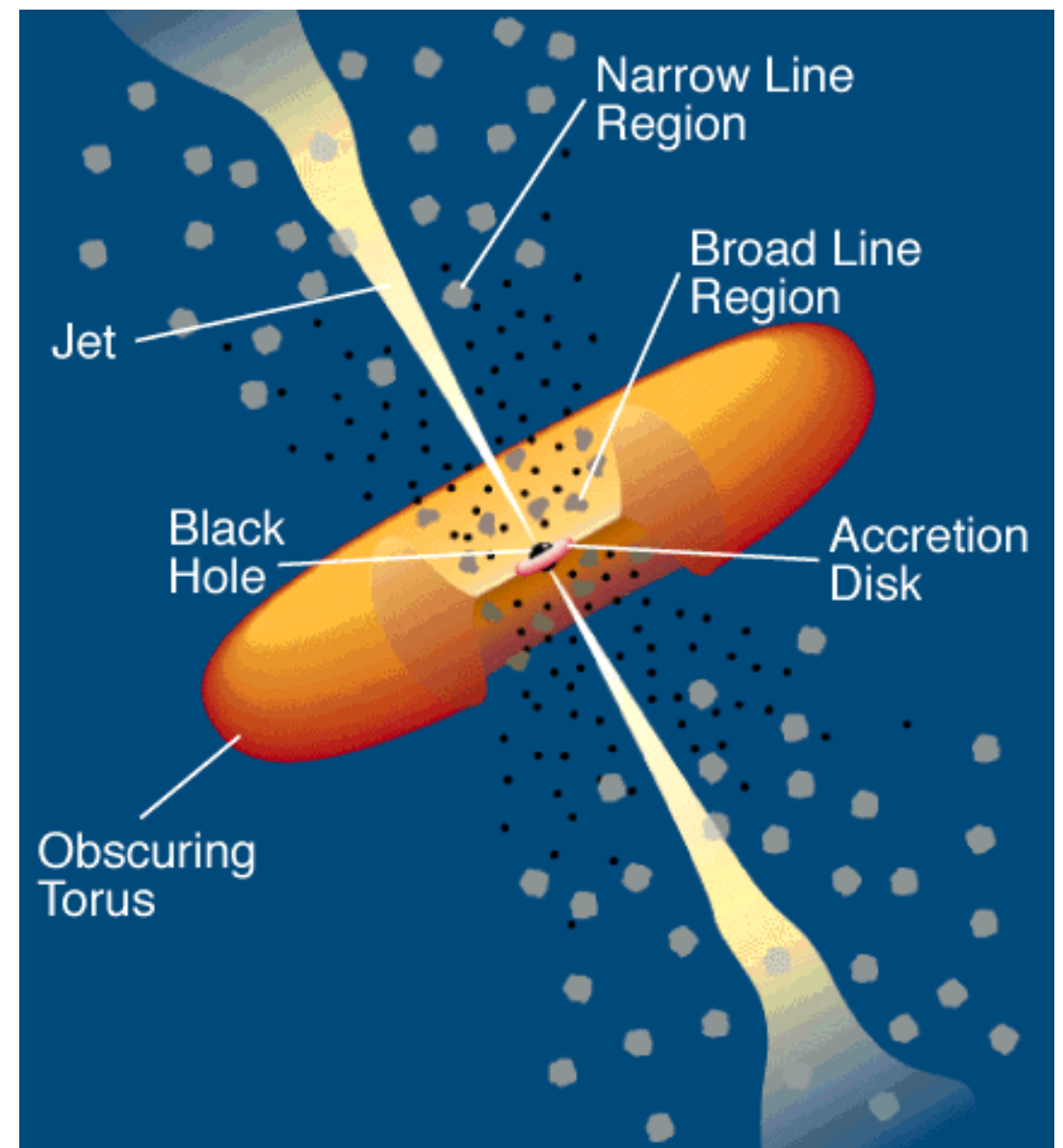
- Akkretionsscheibe und Gastorus
- Plasmastrahlen (Jets) und Knoten

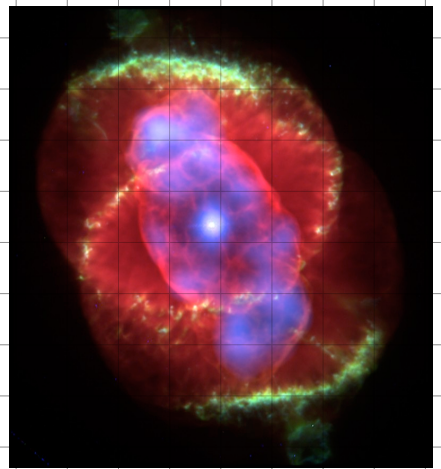
Vorlesung: Termine

Dienstag		Donnerstag	
		23.04.2020	Vorlesung
		30.04.2020	Vorlesung
		07.05.2020	Vorlesung
12.05.2020	Übung	14.05.2020	Vorlesung
		-	Feiertag
		28.05.2020	Vorlesung
		04.06.2020	Vorlesung
09.06.2020	Übung	-	Feiertag
		18.06.2020	Vorlesung
23.06.2020	Übung	25.06.2020	Ausgefallen
		02.07.2020	Vorlesung
07.07.2020	Übung	09.07.2020	Vorlesung
		16.07.2020	Vorlesung
21.07.2020	Übung	23.07.2020	Vorlesung

Seyfert-Galaxien, Quasare, Blazare

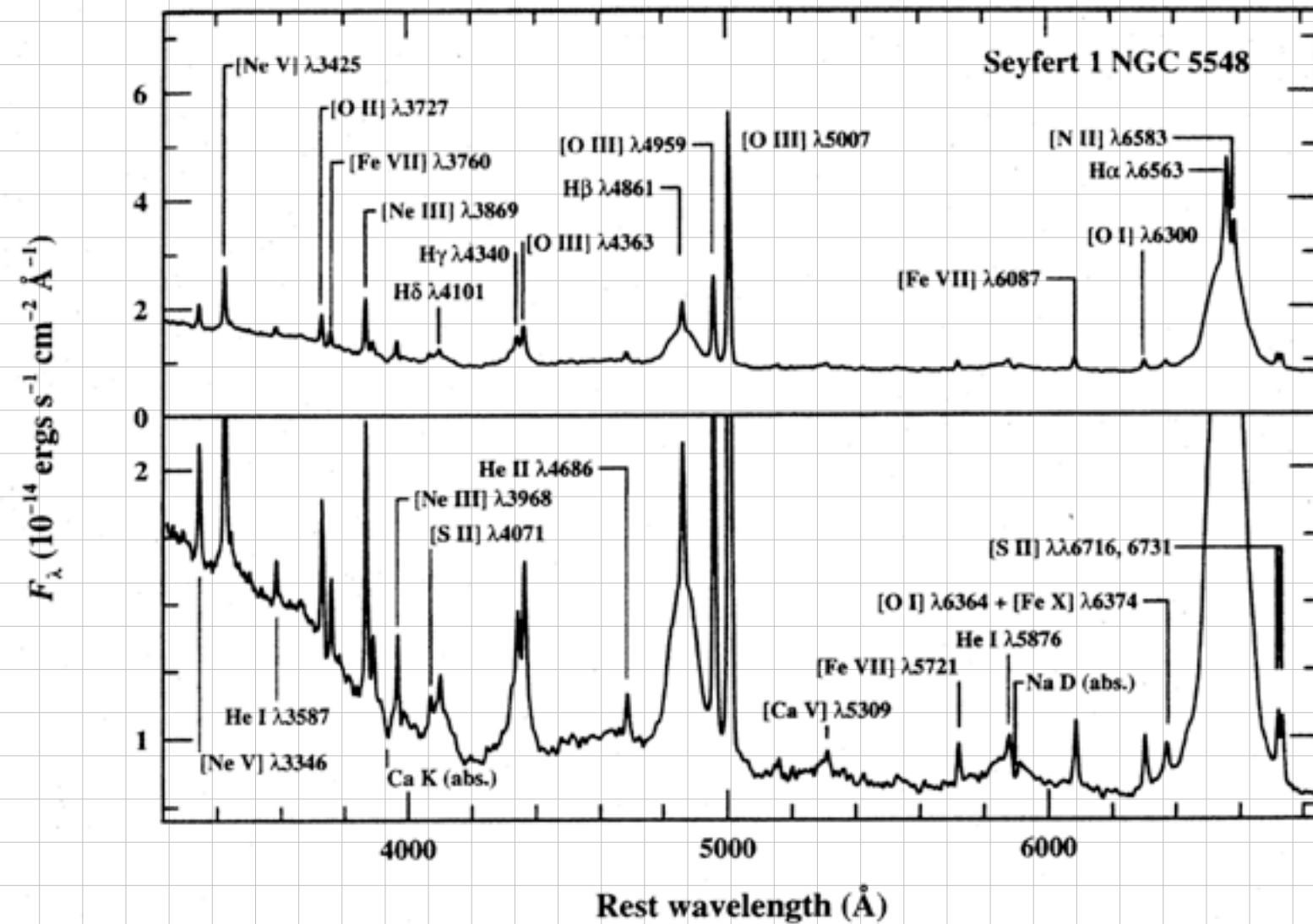
- Beobachtungen von variablen, extragalaktischen Objekten
- Interpretation als Aktive Galaktische Kerne
- Physikalische Prozesse und Parameter
- Indirekter Nachweis von Schwarzen Löchern



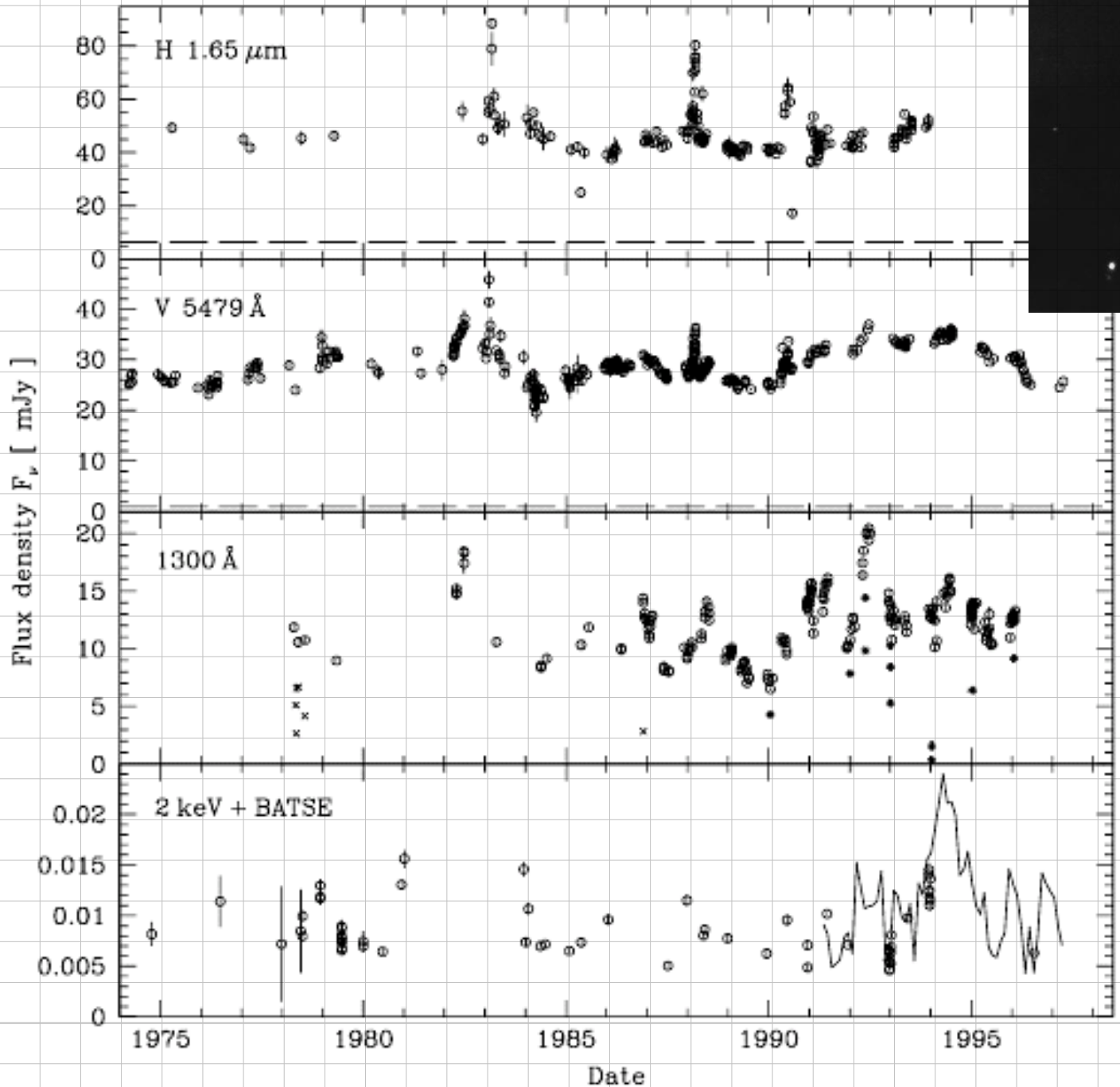


Seyfert-Galaxien

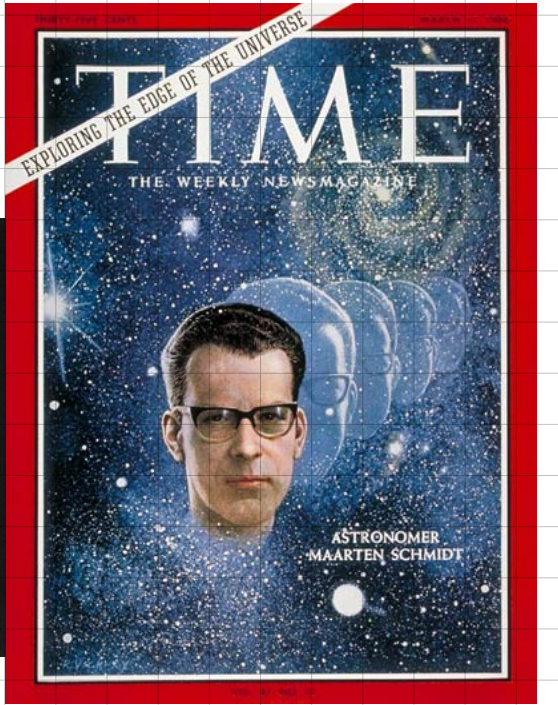
Entdeckung: 1908, Fath & Slipher



Quasare



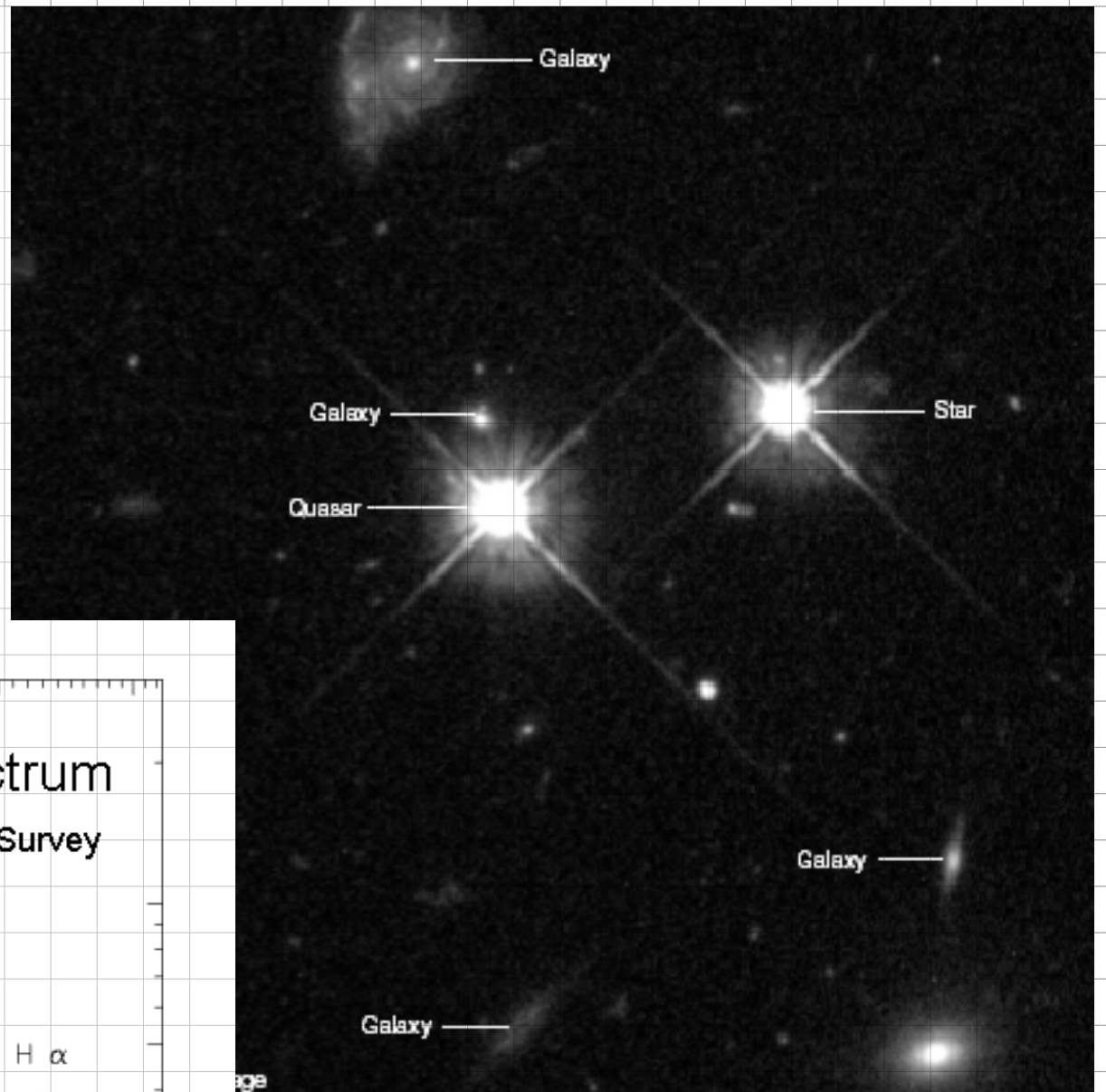
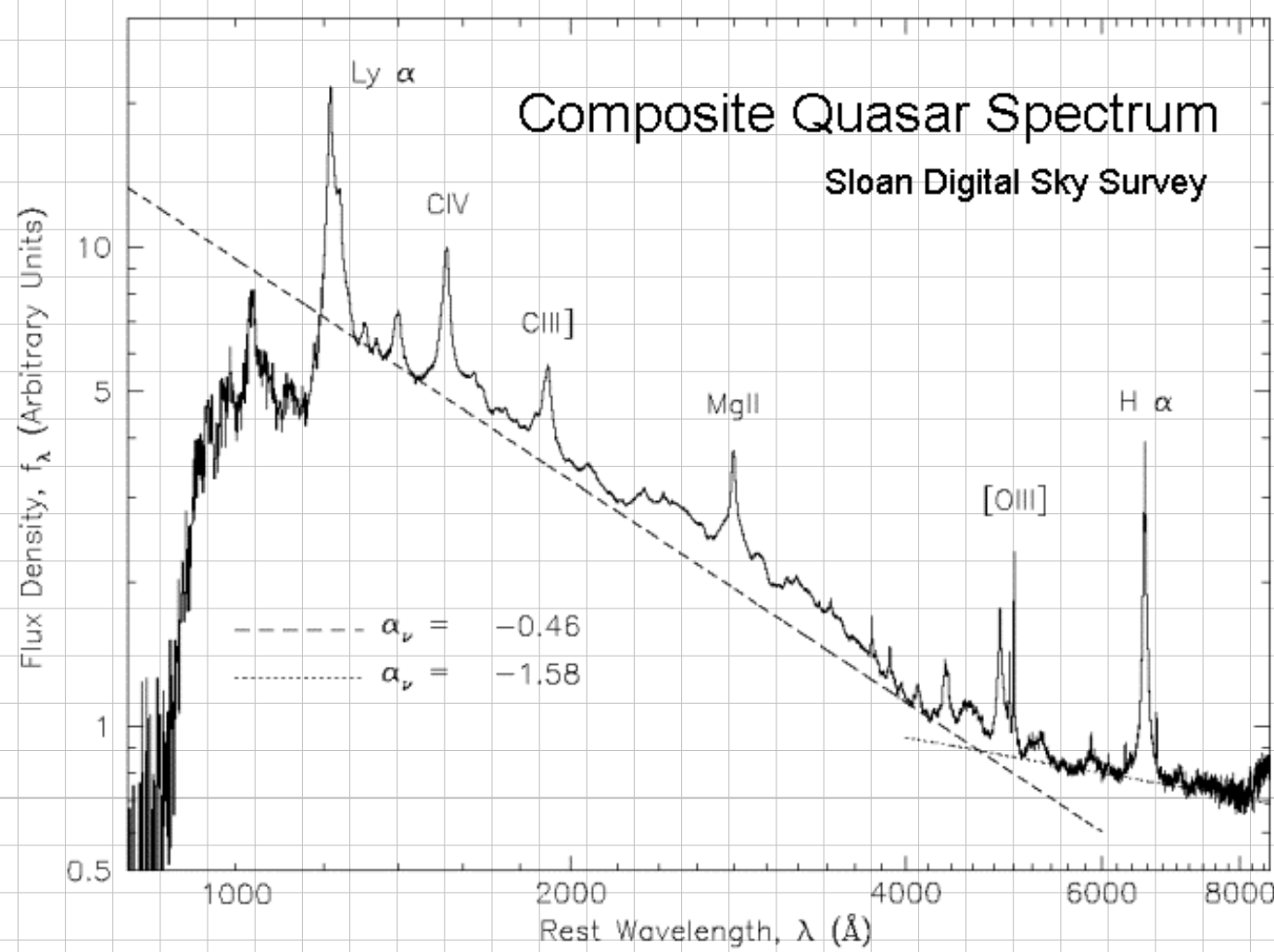
3C 273



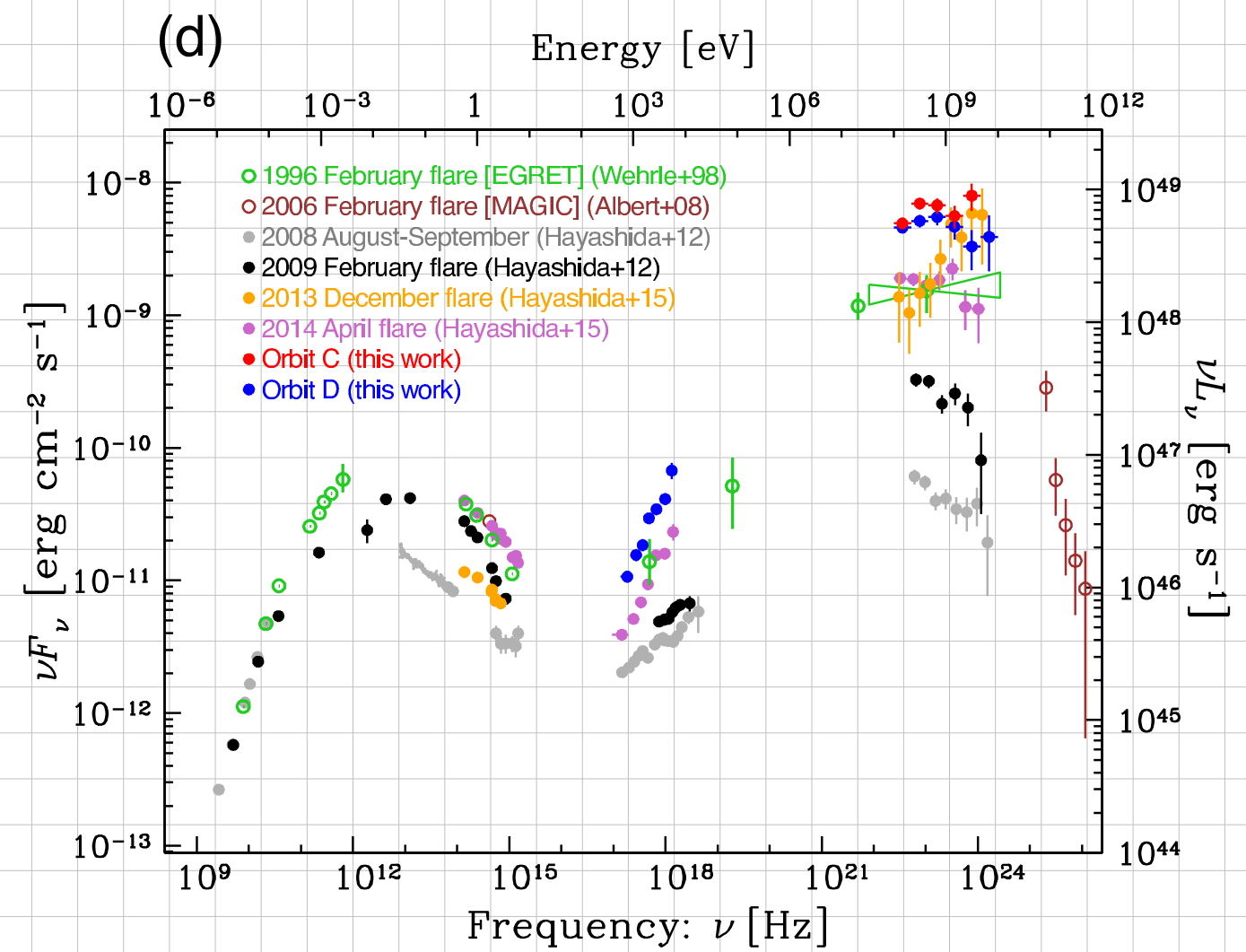
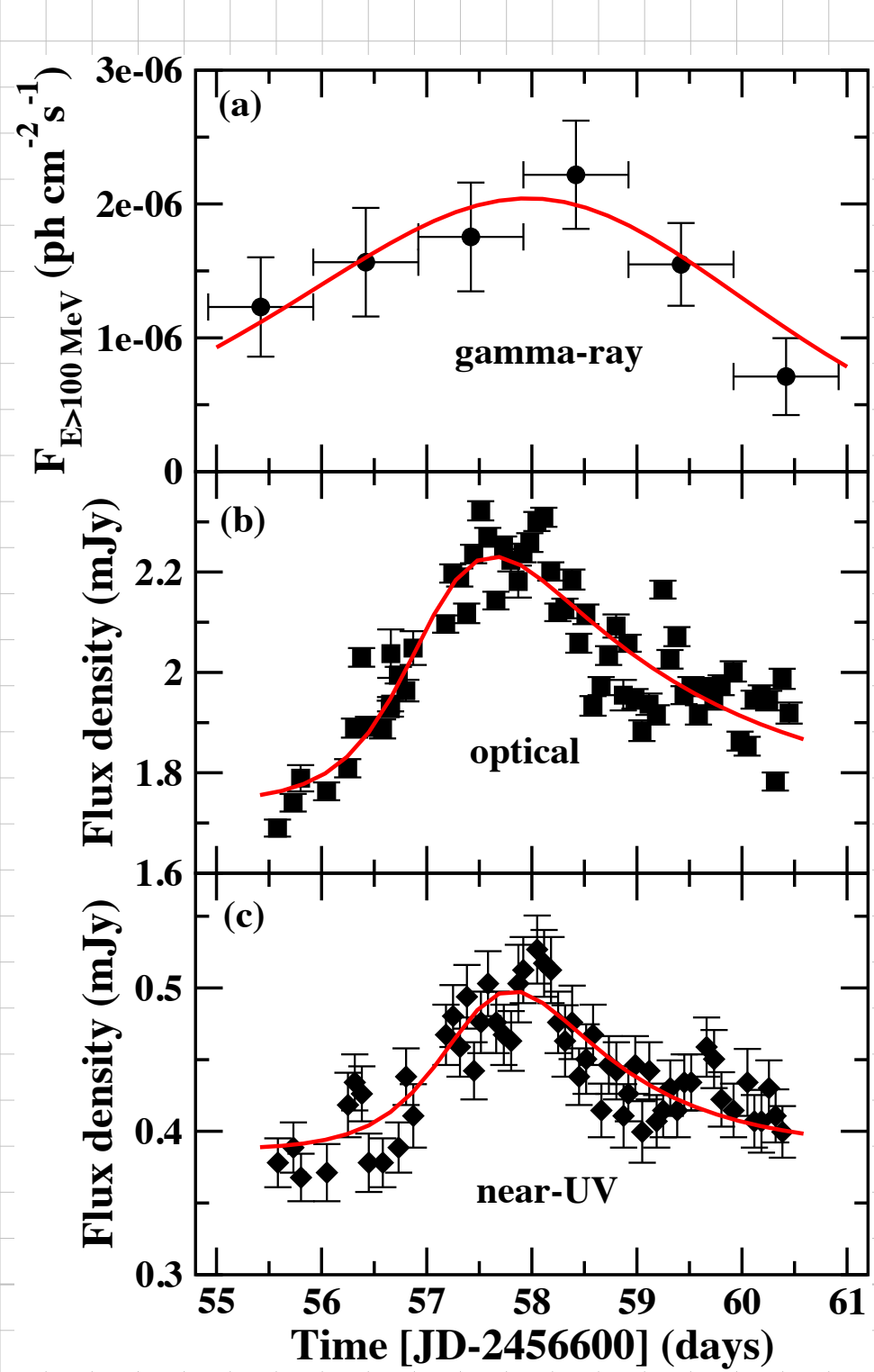
(Maarten Schmidt, 1964)

Abschätzung der Größe des Emissionsgebiets

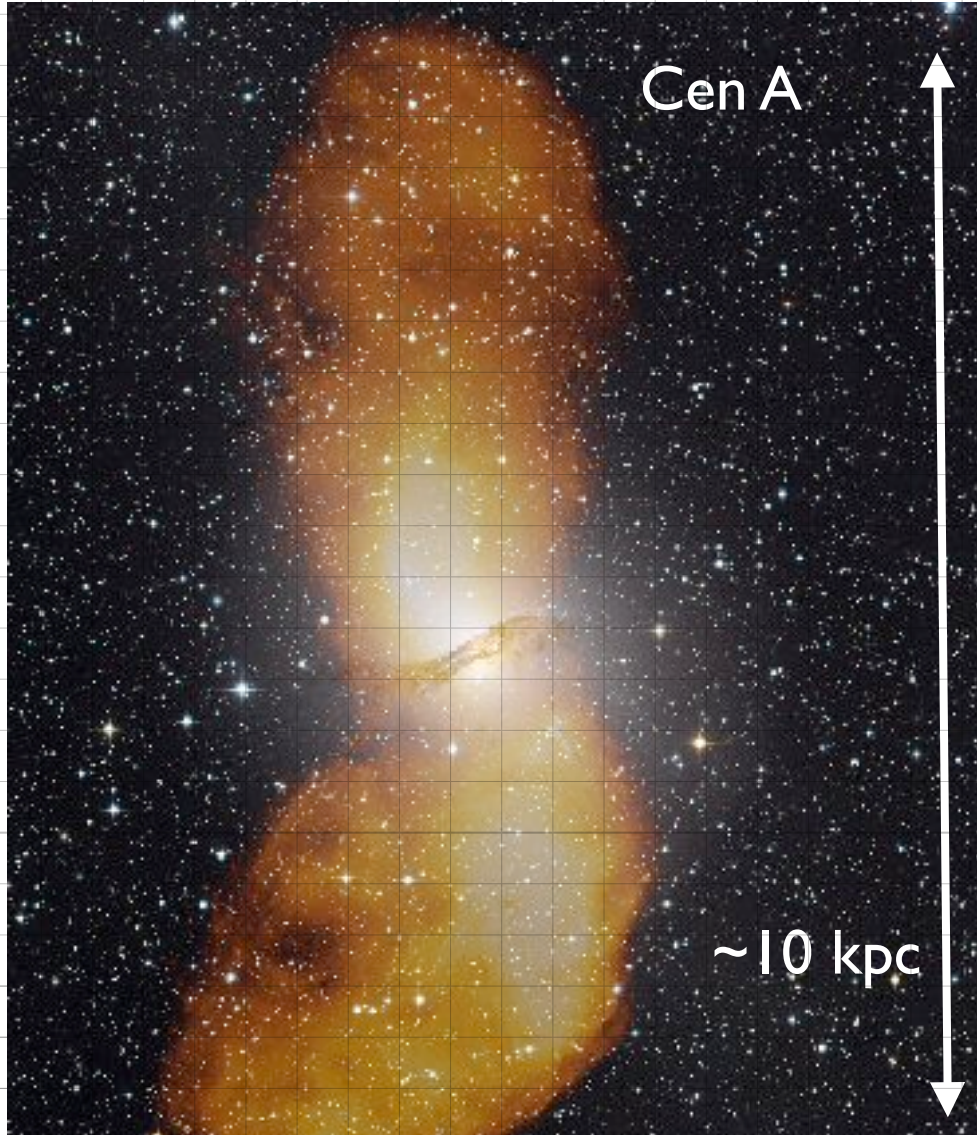
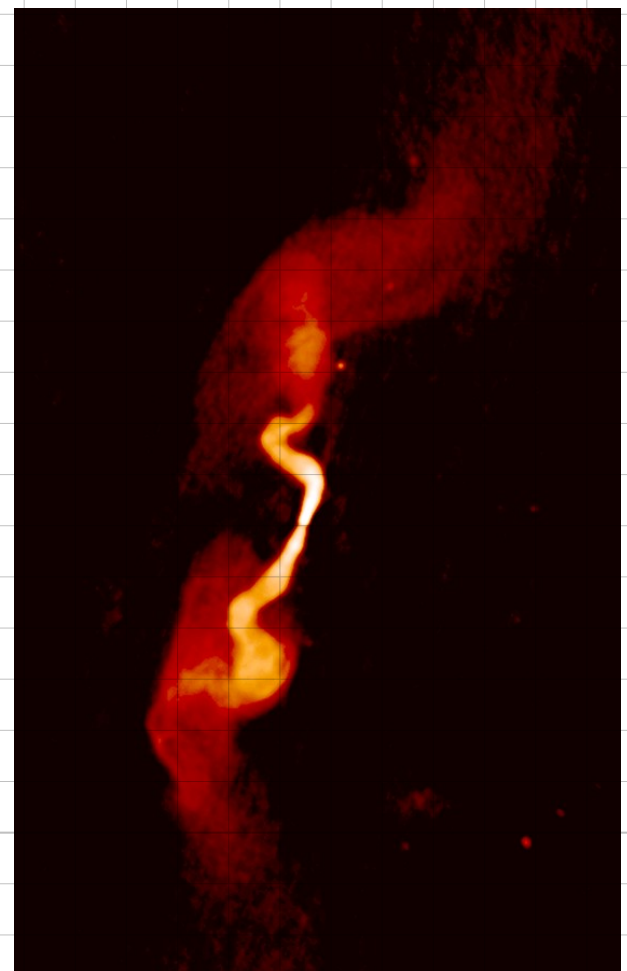
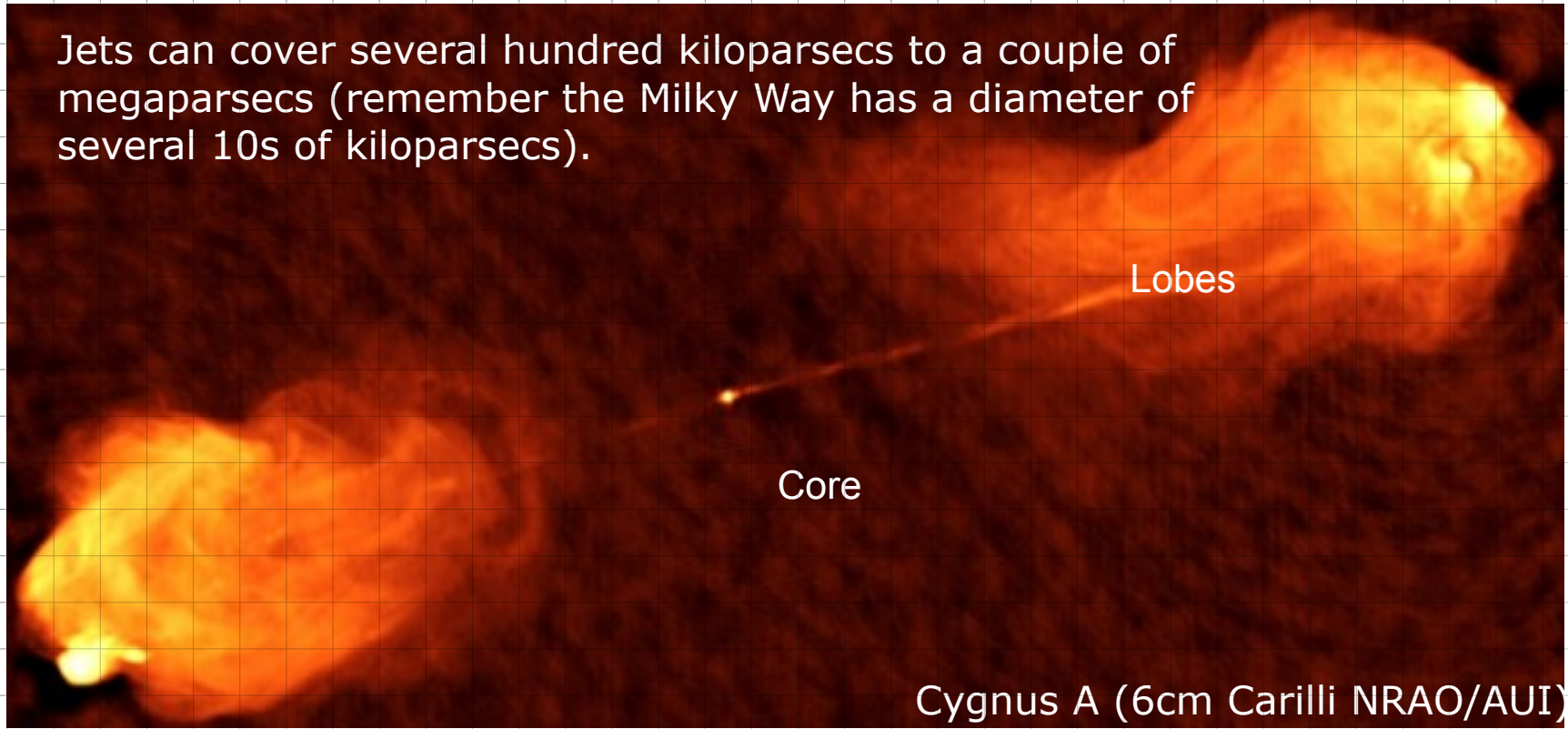
QUASAR-Eigenschaften



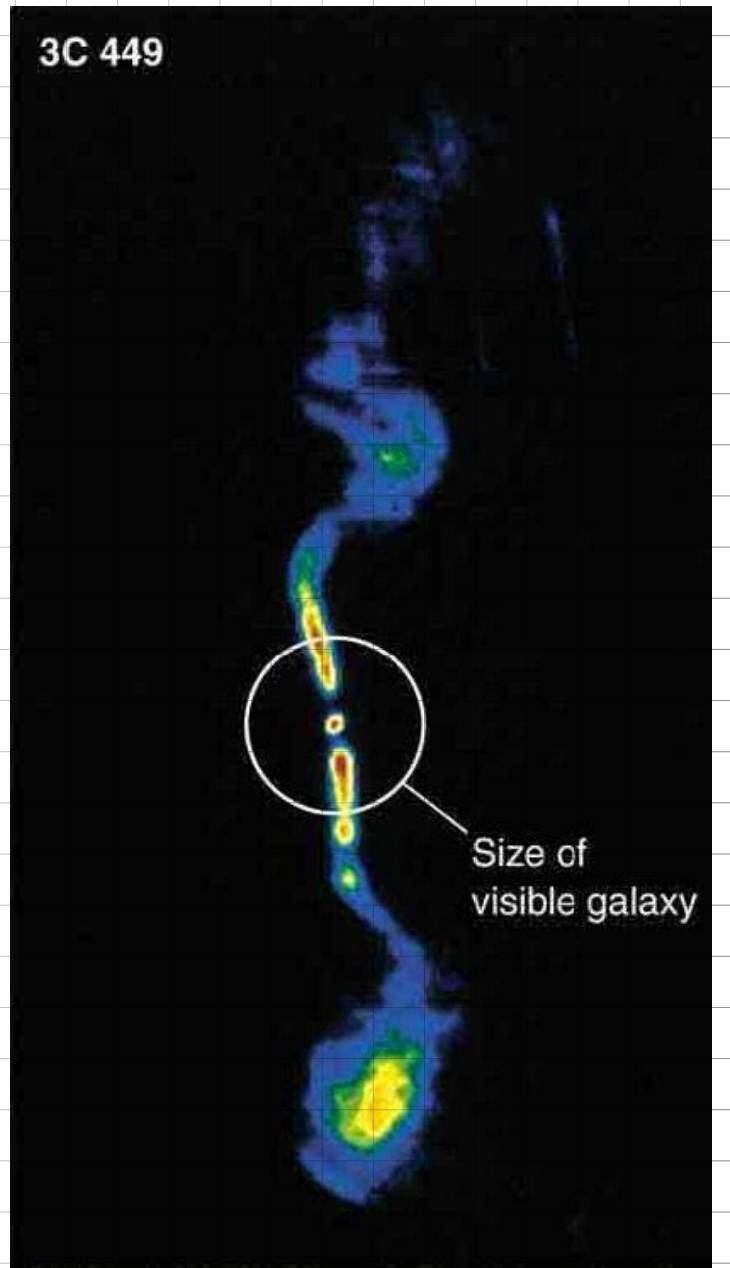
Variabilität von Blazaren



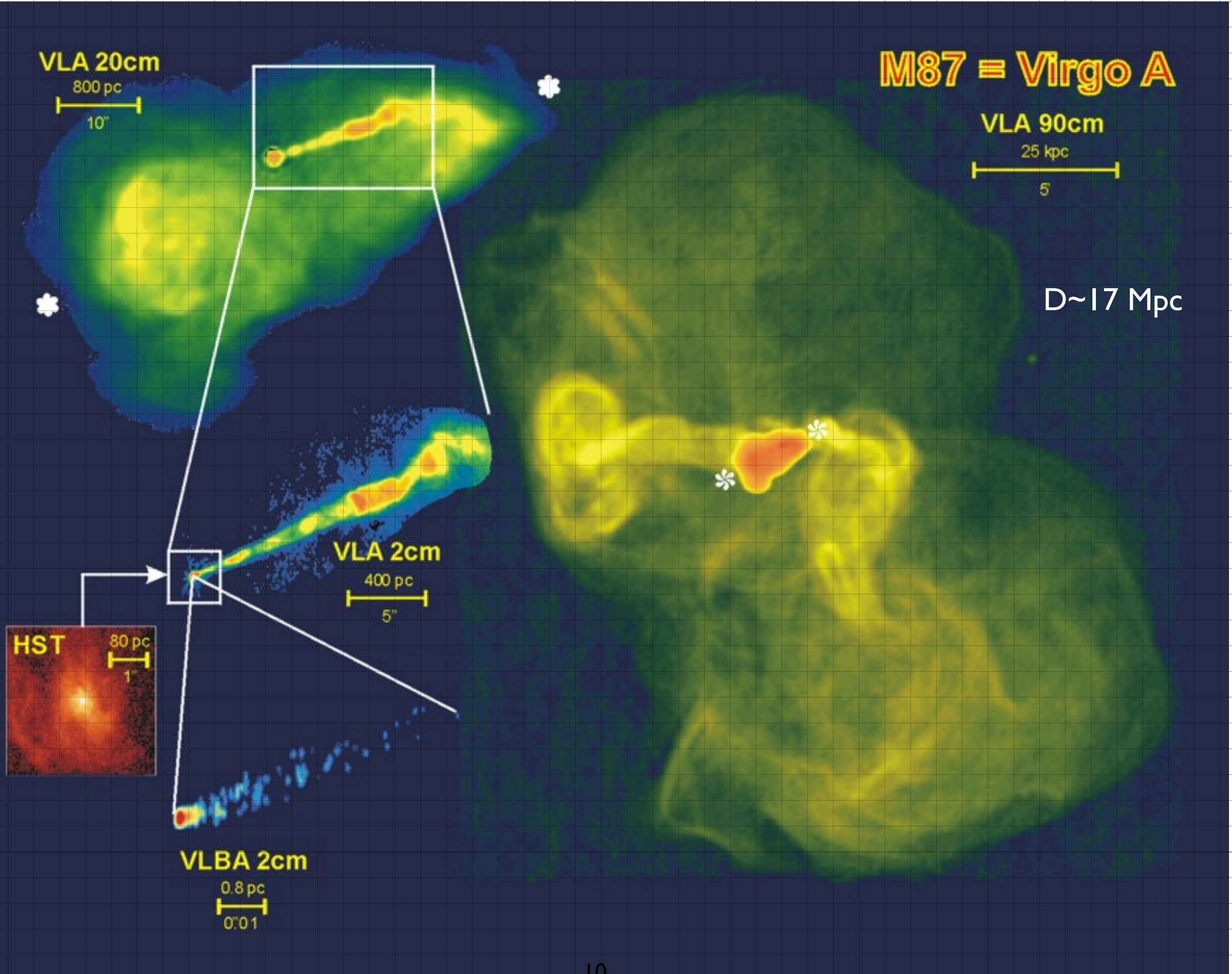
Jets can cover several hundred kiloparsecs to a couple of megaparsecs (remember the Milky Way has a diameter of several 10s of kiloparsecs).



Radiogalaxien



© 2002 Brooks Cole Publishing - a division of Thomson Learning

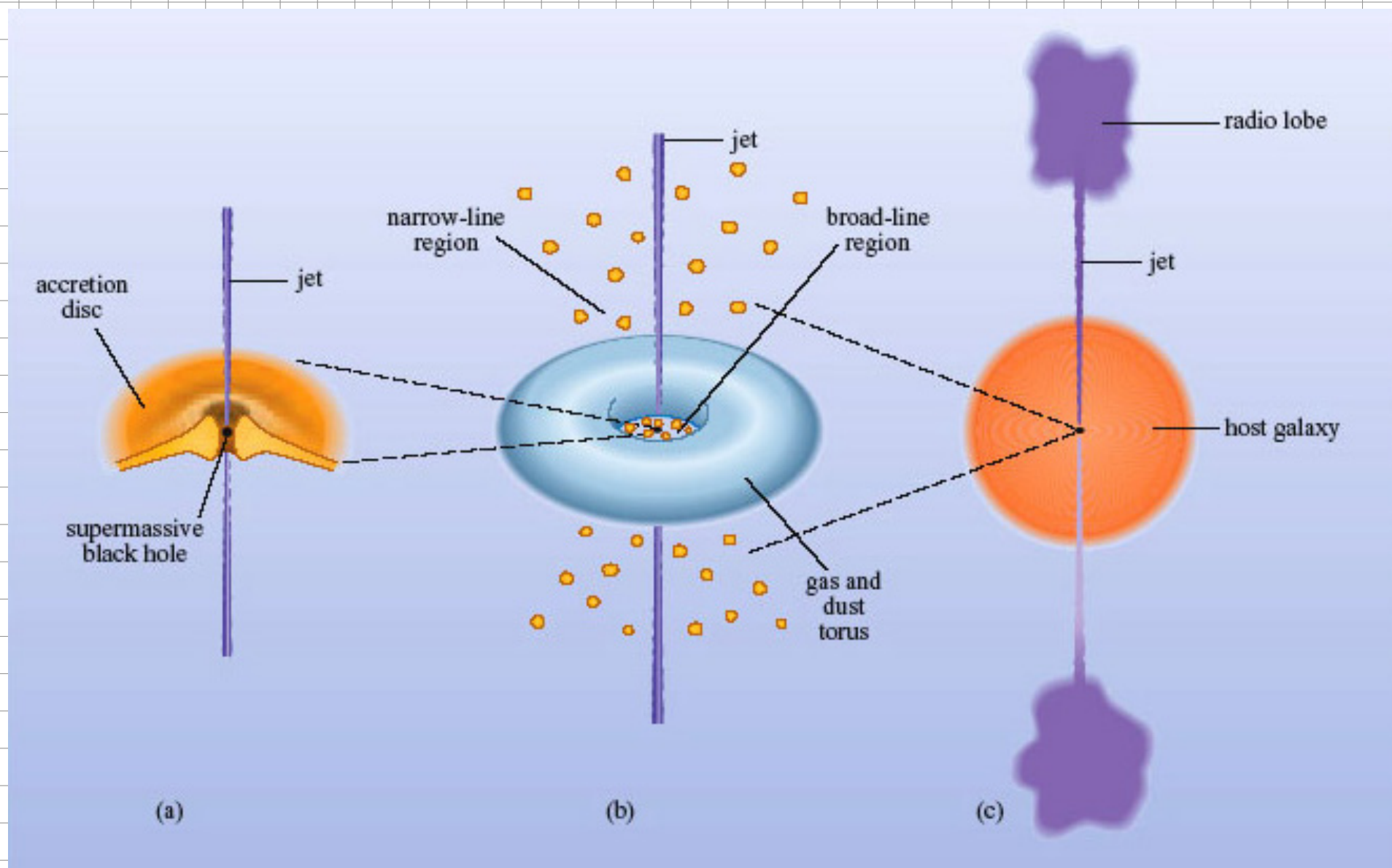


Historische Namensgebung

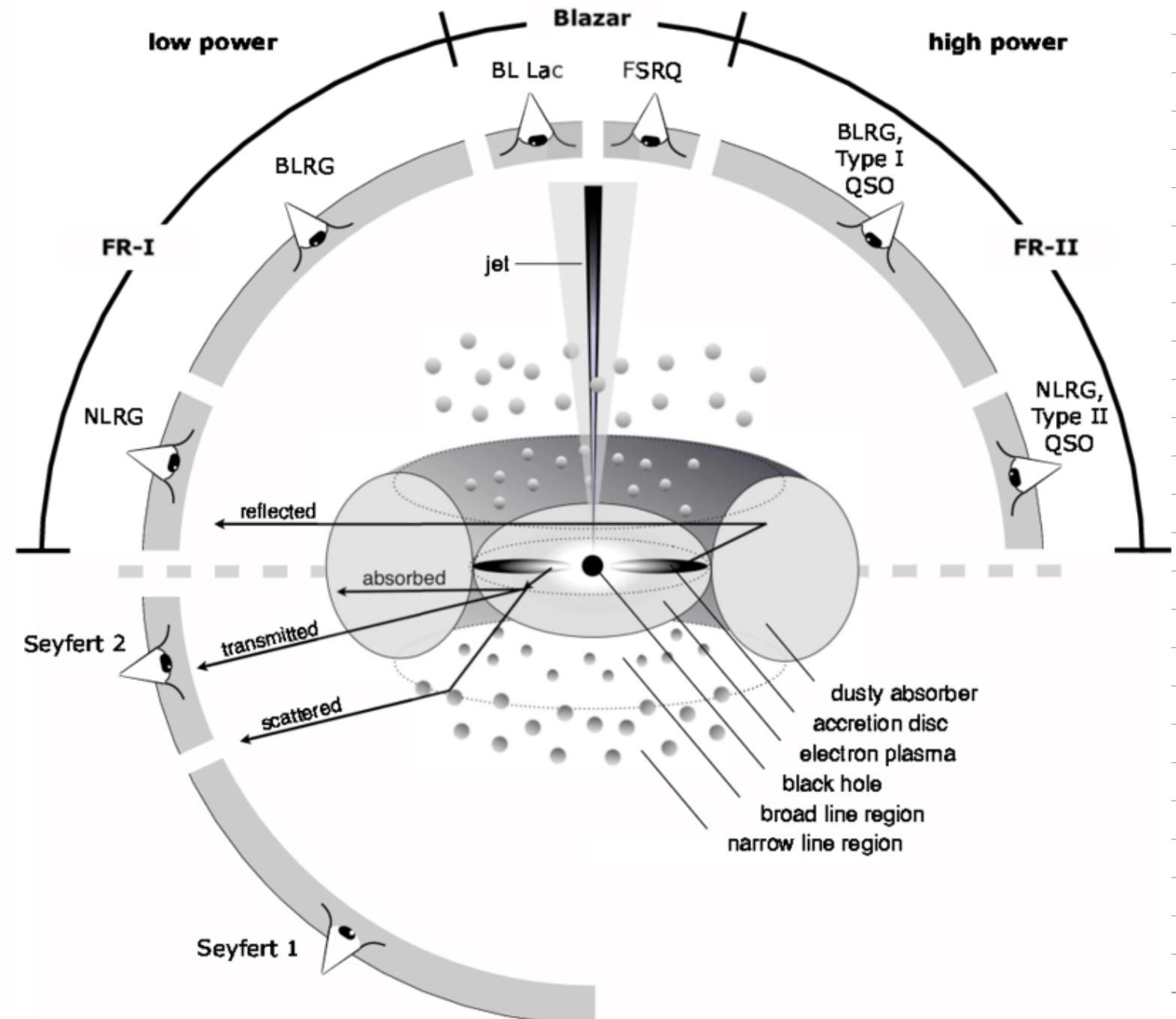
- **Quasare:**
variable Objekte mit starkem Radiosignal
- **Radiogalaxien:**
Galaxien mit ausgedehnten Radiostrukturen
BLRG: breite Emissionslinien (broad-line radio galaxy)
NLRG: ohne breite Emissionslinien (narrow-line radio galaxy)
- **Seyfert-Galaxien:**
sichtbare Galaxien mit schwacher Radiostruktur
Seyfert 1: breite Emissionslinien
Seyfert 2: ohne breite Emissionslinien
- **Fanaroff-Riley-Galaxien:** Galaxien mit auflösbarer Radiostruktur
FR I: Radioquelle heller im Zentrum als an den Kanten
FR II: Radioquelle schwächer im Zentrum als an den Kanten
- **Blazare, BL Lacertae**
(stark polarisierte Radioemission, optisches Kontinuum)
- **Quasi-stellare Objekte (QSOs):**
Galaxien mit sehr schwachem Radiosignal
- usw.

	Normale Galaxie	Radiogalaxie	Seyfert-Galaxie	Quasar	Blazar
Beispiel	Milchstraße	M87, Cygnus A	NGC 4151	3C273	BL Lac, 3C279
Galaxientyp	Spirale	Ellipse, Irreguläre	Spirale	Irreguläre	Ellipse?
L/L_\odot	$< 10^4$	$10^6 - 10^8$	$10^8 - 10^{11}$	$10^{11} - 10^{14}$	$10^{11} - 10^{14}$
M_{BH}/M_\odot	2.6×10^6	3×10^9	$10^6 - 10^9$	$10^6 - 10^9$	$10^6 - 10^9$
Radiostrahlung	schwach	Kern, Jets, Lobes	nur $\approx 5\%$ radiolaut	nur $\approx 5\%$ radiolaut	stark, schnell variabel
Strahlung im Optischen/NIR	vollständig absorbiert	alte Sterne, Kontinuum	breite Emissionslinien	breite Emissionslinien	schwache oder keine Linien
Röntgenstrahlung	schwach	stark	stark	stark	stark
Gammastrahlung	schwach	schwach	mäßig	stark	stark
Variabilität	unbekannt	Monate-Jahre	Stunden-Monate	Wochen-Jahre	Stunden- Jahre

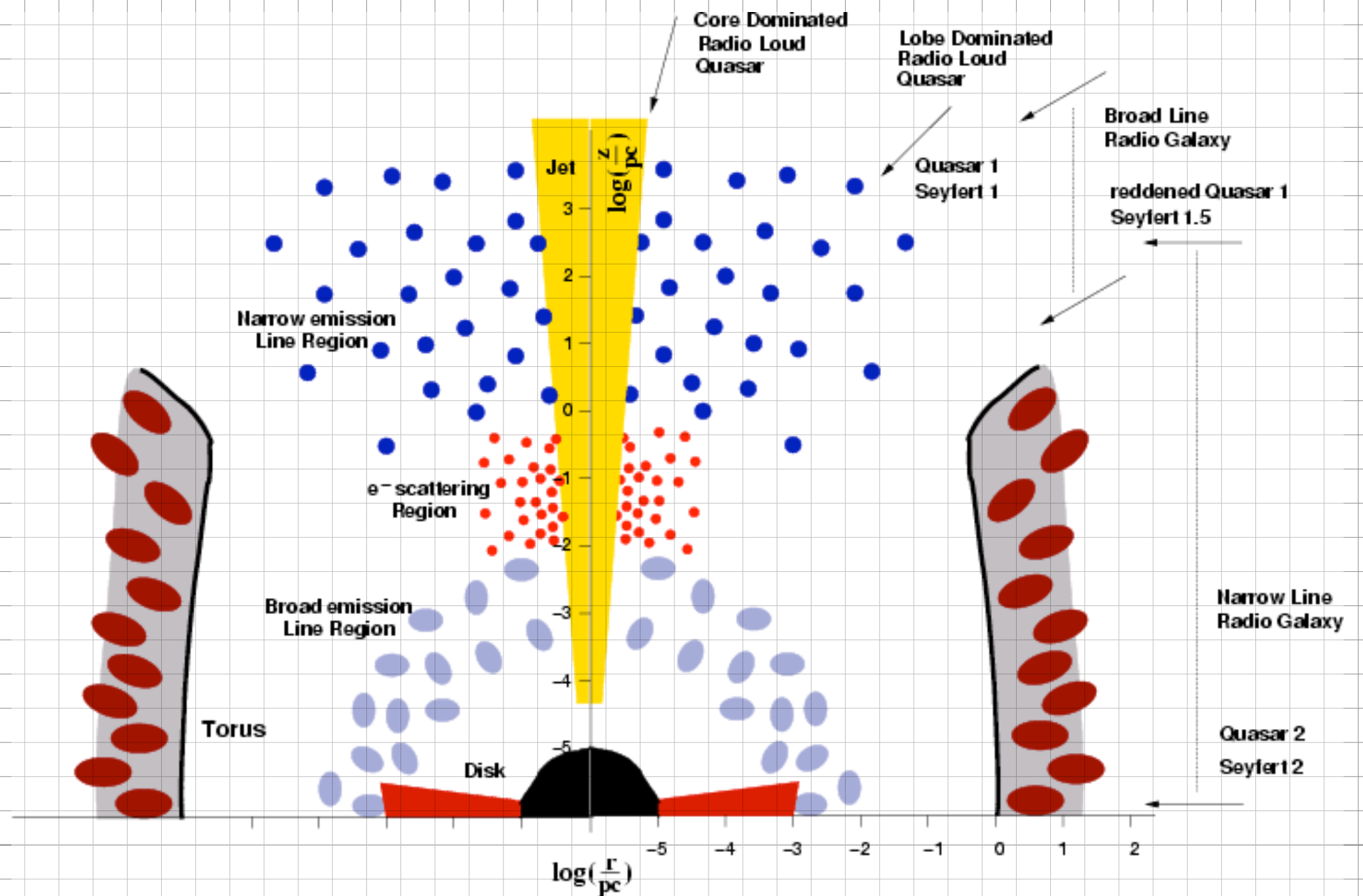
Vereinheitlichtes Modell: Aktive Galaktische Kerne



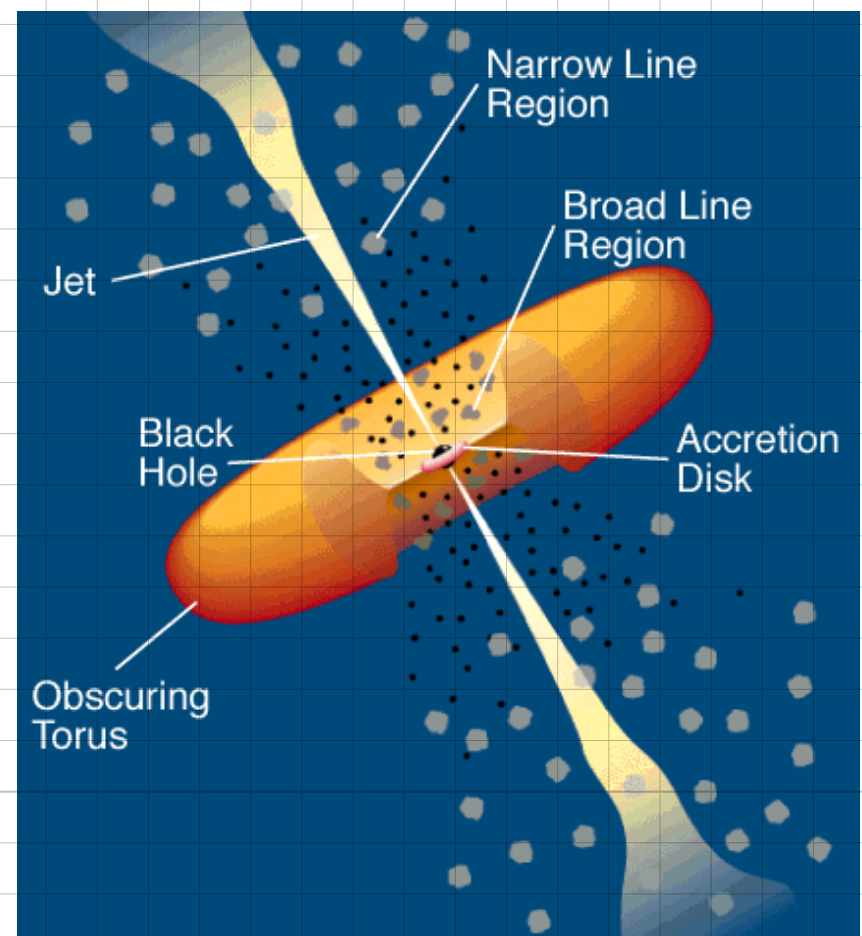
Vereinheitlichtes Modell: Aktive Galaktische Kerne



Vereinheitlichtes Modell: Aktive Galaktische Kerne



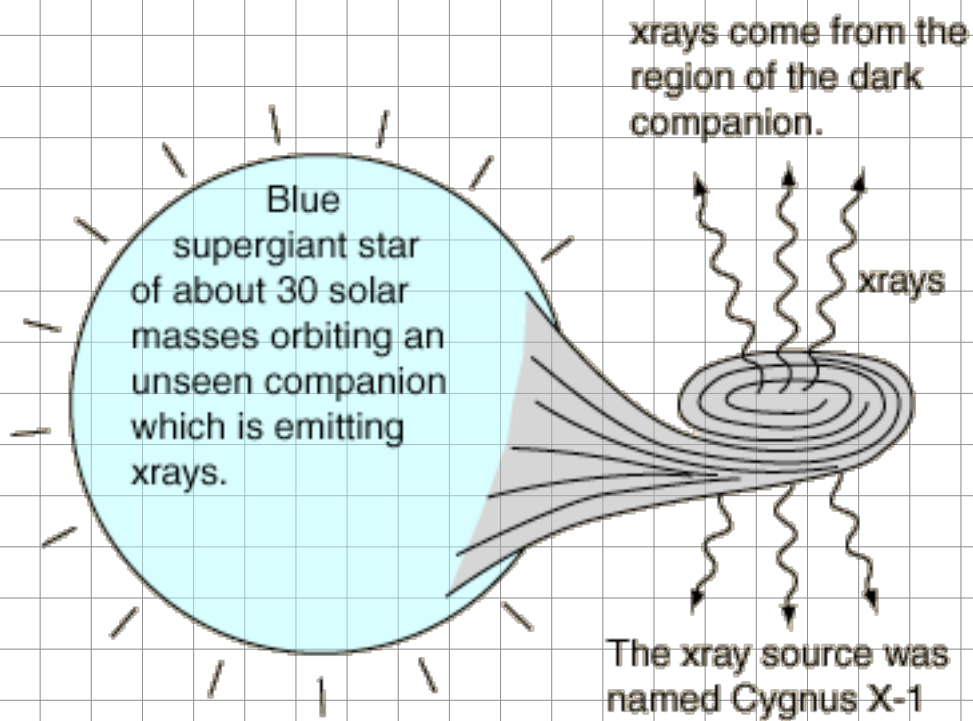
Klassische Betrachtung schwarzer Löcher



Nachweis schwarzer Löcher

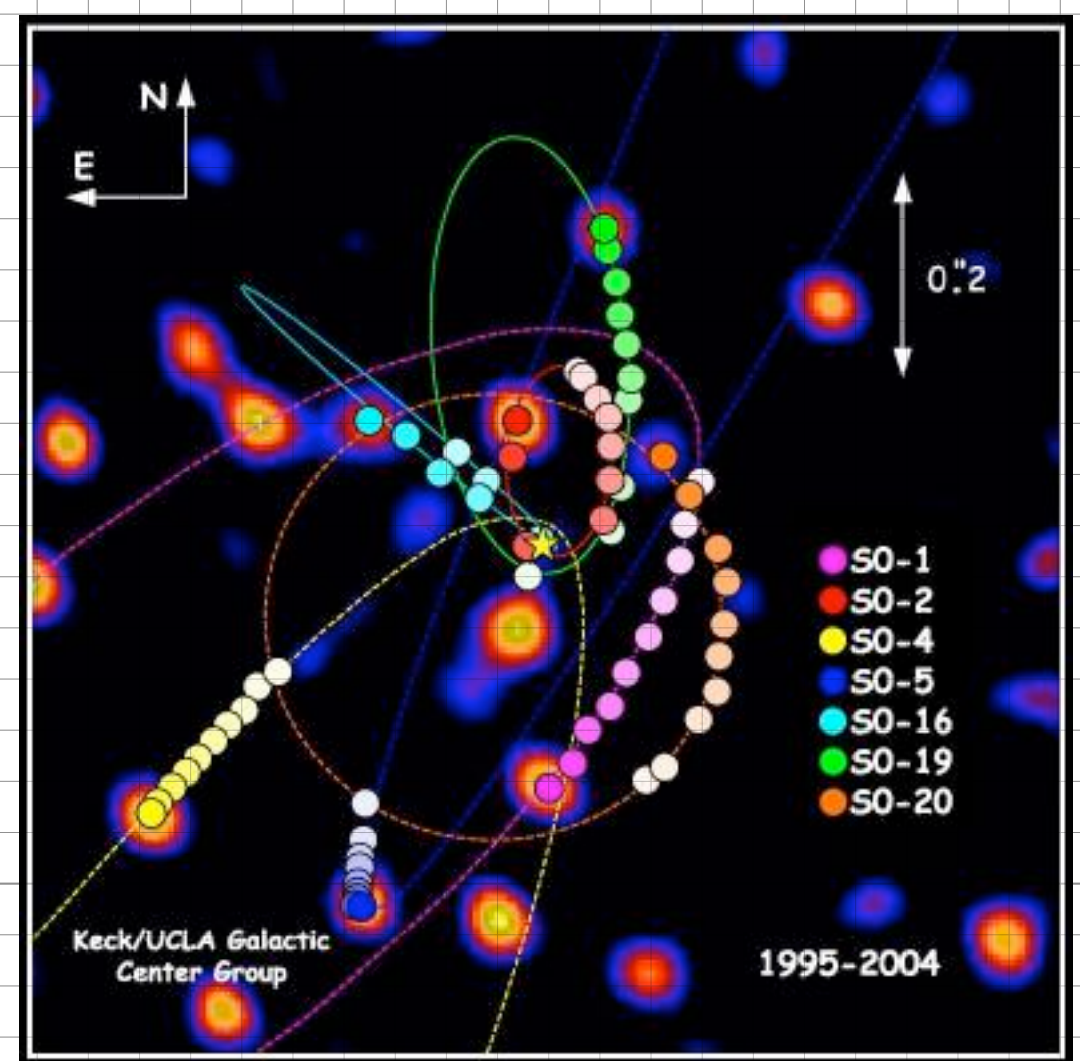
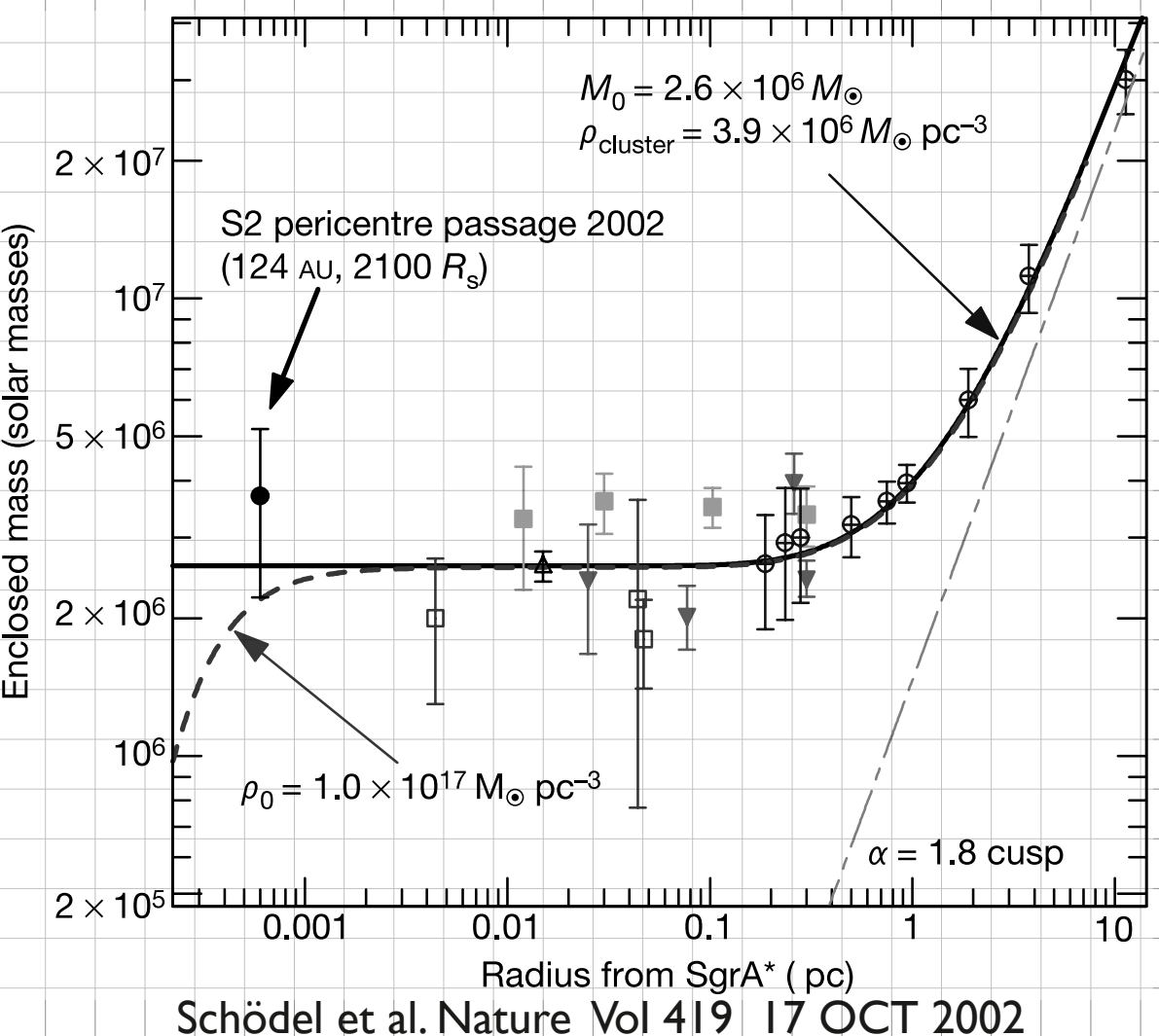
Blauer Riese (O-Stern) HDE 226868

Cygnus X-1

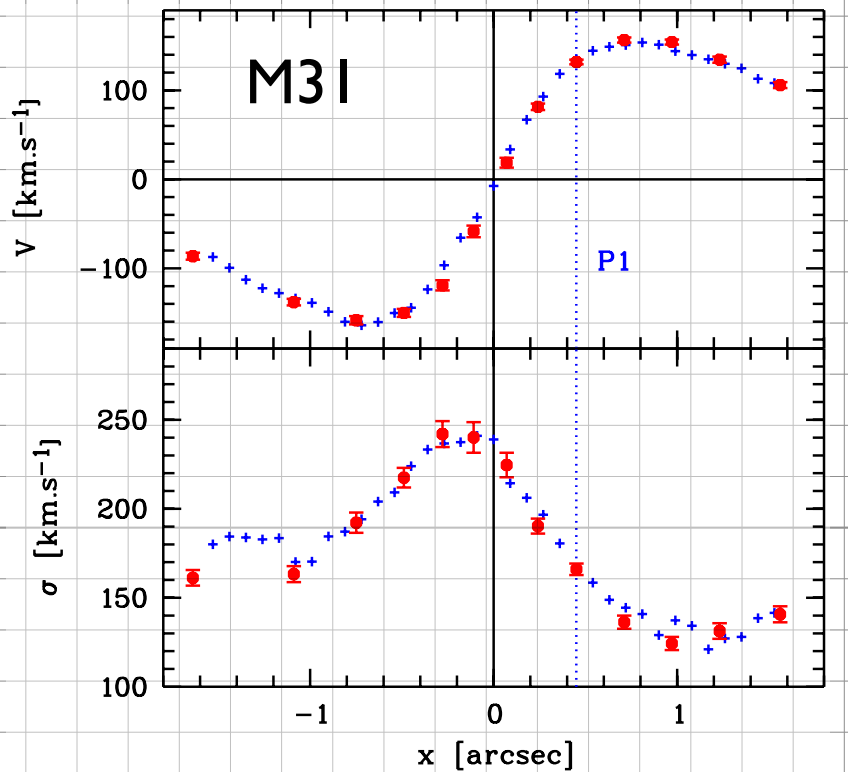
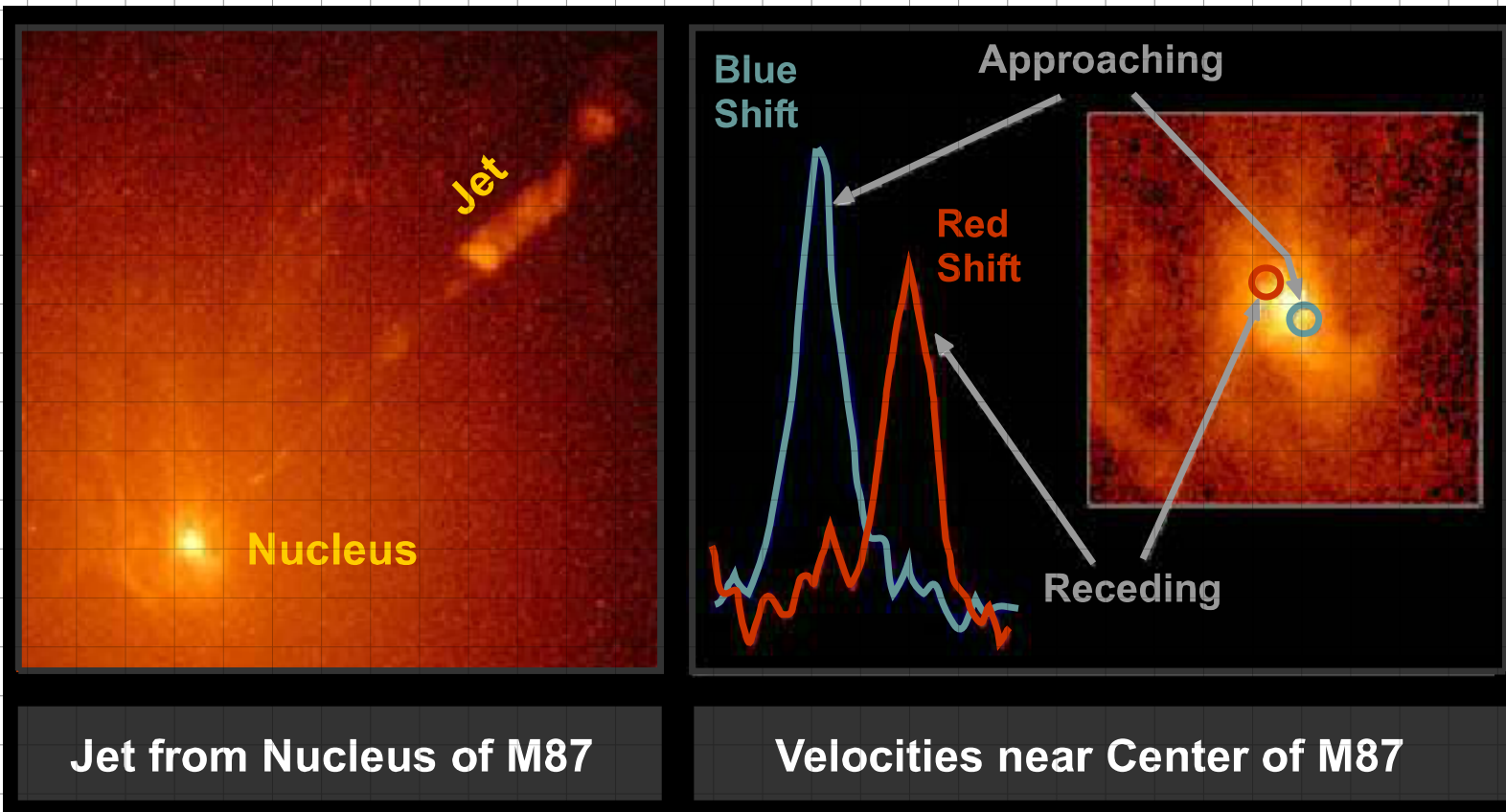


kinematische Methoden
Luminosität und Variabilität
quasi-periodische Emissionen
Nachweis von dunklen Punkten
Gravitationslinseneffekte

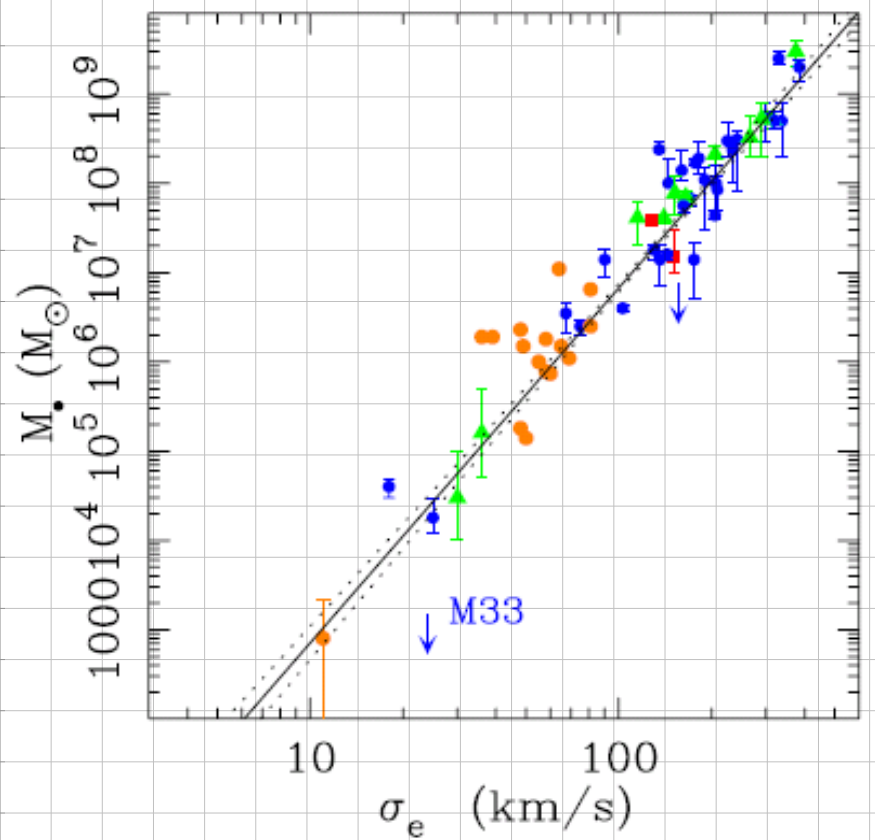
Ein schwarzes Loch im Zentrum unserer Milchstrasse



Superschwere schwarze Löcher: Dopplerverschiebung



Superschwere schwarze Löcher: Geschwindigkeitsvarianz



Superschwere Schwarze Löcher: Luminosität

Eddington-Schranke

